

## الباب الثامن

الذرة متعددة الإلكترونات The many electron atom

The Vector model

نموذج المتجهات للذرة

لأى إلكترون يدور حول النواة كمية حركة زاوية  $\frac{e\ h}{2\ \pi}$  حيث  $e$  كمية متجهة تأخذ

القيم  $\dots, -2, 1, 0$

وله أيضاً كمية حركة زاوية مغزليّة  $\frac{s\ h}{2\ \pi}$  حيث  $s = \pm 1/2$  تكون محصلة كمية

الحركة الزاوية للمتجهين،  $\& S$  هي :

$$\vec{j} = \vec{e} + \vec{s}$$
$$\therefore j = e \pm 1/2$$

أى إنه لكل قيمة من قيم  $j$  يوجد قيمتان لمحصلة كمية الحركة الزاوية  $j$ . عند وجود مجال مغناطيسي تميل هذه المتجهات بتأثير المجال بحيث تصنف مساقطها على اتجاه المجال (الأعداد الكمية المغناطيسية  $m_s, m_e$ ) أعداداً صحيحة أو نصف صحيحة integers or half integers

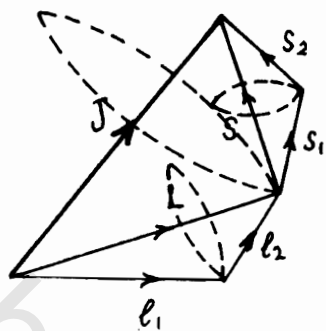
الربط بين الإلكترونات : electron coupling

ال فعل البيئي للإلكترون في الذرة متعددة الإلكترونات يحدد صفات التركيب الإلكتروني

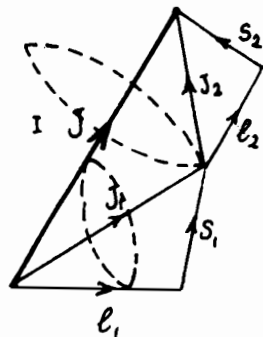
electron configuration ، وبالتالي يحدد مستويات الطاقة في الذرة .

يوجد نوعان من الربط ( طرائقان للربط ) . شكل ( ٨ - ١ )

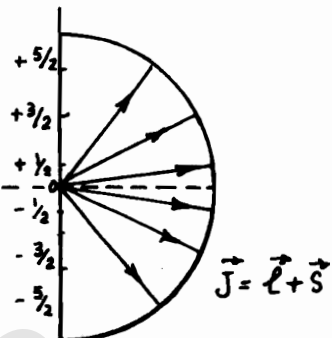
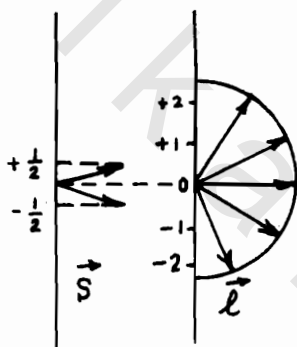
١- نربط أولاً بين متجهات  $j$  للإلكترونات المختلفة فنحصل على



L - S coupling



J - J . coupling



شكل ( ١ - ٨ )

$$S = \sum_i S_i$$

وبالمثل بالنسبة للمتجهات  $S$  فتكون المحصلة

فإذا حصلنا  $S & L$  نحصل على المتجهة  $J$  حيث :

$$\vec{J} = \vec{L} + \vec{S}$$

ويسمى هذا الرابط بربط  $L - S$

٢- إذا حصلنا متجهات  $\vec{e}_i$  ،  $\vec{S}_i$  لكل إلكترون على حدة لنجعل على :

$$\vec{j}_1 = \vec{e}_1 + \vec{S}_1 ; \quad \vec{j}_2 = \vec{e}_2 + \vec{S}_2 , \dots$$

ثم نحصل المتجهات  $\vec{j}$  لجميع الإلكترونات حيث تسمى هذه الطريقة بـ « Russells coupling »

$$\vec{J} = \sum_i \vec{j}$$

« Saunders coupling

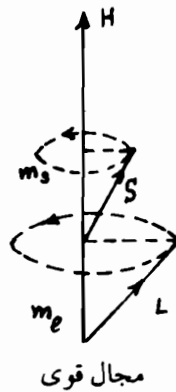
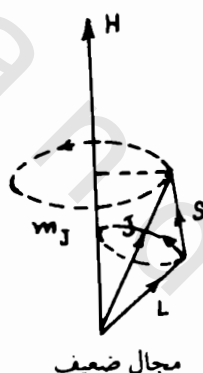
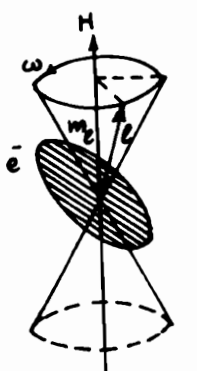
ويوجد طرق أخرى لتحصيل هذه المتجهات ولكن الطريقة الأكثر استعمالا هي طريقة جمع المتجهات  $L$  &  $S$ .

**حركة إلكترون الذرة في مجال مغناطيسي : Larmor precession :** إذا أثروا ب المجال المغناطيسي على ذرة ما فإن محاور حركة الإلكترونات تدور حول المجال بسرعة زاوية  $\omega_L$  تساوى حسب النظرية الكهرومغناطيسية :

$$\omega_L = \frac{e H}{2 mc}$$

حيث  $e$  شحنة الإلكترون  $m$  كتلته ،  $c$  سرعة الضوء . ويكون تردد لارمور :

$$f_L = \frac{e H}{4 \pi m c}$$



شكل (٢ - ٨)

نعتبر الان ثلاث حالات : [ انظر شكل (٢ - ٨ ) ]

- ١ - في ذرة معزولة يكون المتجه  $J$  ثابت الاتجاه والمقدار ، ولكن يدور كل من  $S$  ،  $L$  حول المتجه  $J$  وذلك بسبب المجال المغناطيسي الذاتي لحركة الإلكترون ، والذي يسبب ذلك هو الفعل البيني المغزلي المداري spin - orbit interaction

**ب - في وجود مجال مغناطيسي ضعيف :**

تستمر حركة  $L$ ,  $S$  حول المتجه  $J$  أيضاً حول اتجاه المجال المغناطيسي  $H$  ويوصف عادةً الإلكترون في هذه الحالة بالأعداد الكمية الآتية :  $n, \ell, m_s, j$ .

**ج - في وجود مجال مغناطيسي قوي :**

يتلاشى نسبياً أو يتضاعل تأثير الفعل البيني المغزلي المداري في وجود مغناطيسي قوي، إذ يكون عندئذ مجال الإلكترون الذاتي صغير جداً نسبياً . ولذلك فإن المتجه  $J$  (محصلة  $S$ ) يكون غير قائم ، ويدور كل من  $L$  ،  $S$  على انفراد حول المجال  $H$ .

وتوصف حالة الإلكترون عندئذ بالأعداد الكمية  $n, \ell, m_s, m_l$

**تأثير المجال المغناطيسي على مستويات الطاقة في الذرة :**

نعتبر أولاً إلكتروناً واحداً من في الذرة . حركته المدارية تكسبه عزم مغناطيسي ، ويكافىء في تأثيره مغناطيسي يتعامد محوره مع مستوى المدار للإلكترون :

$$M_s = I \cdot A_s = -\frac{ev}{2\pi c} \cdot \pi r^2$$

$$= -\frac{evr}{2c}$$

للإلكترون أيضاً كمية حركة زاوية :

$$P_s = m v r$$

وبحذف السرعة  $v$  من المعادلتين السابقتين نحصل على :

$$\therefore \overrightarrow{M_s} = -\frac{e}{2mc} \cdot \overrightarrow{P_s}$$

حيث يكون المتجهان  $\overrightarrow{M_s}$ ,  $\overrightarrow{P_s}$  متعاكسين اتجاهها لأن الإلكترون شحنة سالبة .

عندما ندخل في الاعتبار الحركة المغزليّة للإلكترون نجد حسب النظرية الكهرومغناطيسية عزماً مغناطيسيّاً  $M_s$  مصاحباً لهذه الحركة المغزليّة كذلك كمية حركة زاوية  $P_s$  ويمكن إثبات أن

$$\overrightarrow{M_s} = -\frac{e}{mc} \overrightarrow{P_s}$$

ويلاحظ هنا أن النظرية تعطى عزماً مغناطيسيًا للحركة المغزلية يعادل ضعف العزم المغناطيسي الناشئ عن الحركة الداربة نفرض أنتا أثنا أثنا بمحال مغناطيسي  $H$  في اتجاه  $Z$  مثلًا تكون مركبتا  $P_s$  ،  $P_{sh}$  في اتجاه المجال هما  $P_{sh}$  ،  $P_{sh}$  ويكون متوسط العزم المغناطيسي في اتجاه المجال هو :

$$M = -\frac{e}{2mc} (P_{sh} + 2 P_{sh})$$

عندما يكون هناك عدد كبير من الإلكترونات في الذرة الواحدة يكون هذا العزم المتوسط في اتجاه  $H$  هو :

$$\overrightarrow{M} = -\frac{e}{2mc} \left( \sum P_{sh} + 2 \sum P_{sh} \right)$$

إذا كان هذا العزم المتوسط في اتجاه المجال المغناطيسي فإن الذرة تكون بارا مغناطيسية paramagnetic .

إذا كانت الحركة المغزلية الإلكترونية في الذرات المختلفة في المادة تتربّب متراضصة في اتجاه المجال المغناطيسي كانت هذه المادة فيرومغناطيسية Ferro-magnetic .

### نظرية الطاقة المغناطيسية : Theory of magnetic energy :

عند التأثير بمحال مغناطيسي  $H$  على مغناطيس عزمه  $M$  يكون للمغناطيس طاقة موضع تساوى  $MH \cos \theta$  حيث  $\theta$  هي الزاوية بين  $H$  ،  $M$  في حالة ذرة متعددة الإلكترونات يكون التغير في مستوى الطاقة الذرية الناشئ عن المجال المغناطيسي هو :

$$\Delta E_H = - \overline{M} \cdot H .$$

$$\overline{M} = M \cos \theta$$

حيث

وتساوي مركبة العزم المغناطيسي في اتجاه  $H$

$$\therefore \Delta E_H = \frac{e H}{2 m c} \sum (P_{sh} + 2 P_{sh})$$

عندما يكون المجال قوياً تُعرف حالة الإلكترونات بالأعداد الكمية  $n$ ,  $m_r$ ,  $m_s$  وتكون مركبنا كمية الحركة الزاوية المدارية والمغزليّة  $P_{SH}$ ,  $P_{RH}$  على الترتيب في اتجاه المجال : هما

$$P_{RH} = m_r \cdot \frac{h}{2\pi}$$

$$P_{SH} = m_s \cdot \frac{h}{2\pi}$$

ويكون عندئذ التغير في الطاقة المغنتيسية هو :

$$\Delta E_H = \frac{eh}{4\pi mc} \sum (m_r + 2m_s) \cdot H$$

ويتم الجمع  $\sum$  على جميع الإلكترونات الذرة .

إذا كان مستوى الطاقة هو  $E_n$  قبل التأثير بالمجال ، ثم أصبح  $E_H$  بعد المجال فإن :

$$\Delta E = E_H - E_n$$

$$\therefore E_H = E_n + \frac{eh}{4\pi mc} \sum (m_r + 2m_s) \cdot H$$

ولما كان تغير  $(m_r + 2m_s)$  دائماً بأعداد صحيحة integral ، لذلك فإن كل مستوى أصلى واحد للطاقة الإلكترونية  $E_n$  ينقسم إلى عدد من المستويات  $E_H$  تميزها القيم الصحيحة  $m_r + 2m_s$  ، والتي تأخذ القيم من  $(-1, 0, +1)$  عندما تكون بعضها بمقادير متساوية من الطاقة equally spaced . الفرق بين أي مستويين متتاليين هو

$$\frac{eh}{4\pi mc} \cdot H = B \cdot H$$

في حالة مغناطيسي قوي «تأثير زيمان المعتاد» :

إذا اعتبرنا مستويين من الطاقة  $E_1$ ,  $E_2$  يميزهما  $n = 2$ ,  $n = 1$  يكون تردد خط

$$v_0 = (E_2 - E_1 / h) \quad \text{الطيف بينما هو :}$$

انظر شكل (٣ - ٨)

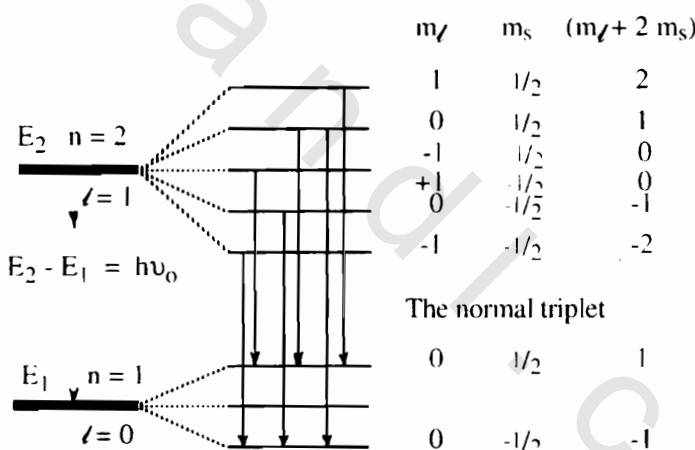
وعند التأثير بال المجال المغناطيسي يكون :

$$E_2' - E_1' = (E_2 - E_1) + \frac{eH}{4\pi mc} (m_l + 2 m_s) H$$

$$\Delta m_l = m_l^* - m_l \quad \& \quad \Delta m_s = m_s^* - m_s \quad \text{حيث :}$$

( النجمة هنا تعنى وجود المجال المغناطيسي )

$$\therefore h\nu' = h\nu + \frac{eH}{4\pi mc} (\Delta m_l + 2 \Delta m_s) . H$$



شكل (٣ - ٨)

$$\therefore v' = v + \frac{eH}{4\pi mc} (\Delta m_l + 2 \Delta m_s)$$

وتعطى قاعدة الاختيار selection rule الشرط اللازم ، لكي يقفز الالكترون من المستوى المرتفع للمنخفض وهذه هي : -

$$\Delta m_s = \pm 1 , \Delta (m_s) = \pm 1 \text{ or } 0 ; \Delta m_s = 0$$

∴ الترددات الممكنة عند وجود المجال هي :

$$(i) \Delta M = 0 \quad \therefore v' = v$$

$$(ii) \Delta M = -1 \quad \therefore v' = v + \frac{eH}{4\pi mc}$$

$$(iii) \Delta M = +1 \quad \therefore v' = v - \frac{eH}{4\pi mc}$$

وهذا يدل على أن الخط الواحد  $v$  قد انقسم إلى ثلاثة تسمى بالثلاثي المعتاد Normal triplet effect ، وهذا يفسر تأثير زيمان المعتاد فى حالة المجالات القوية .

### تأثير زيمان الشاذ :

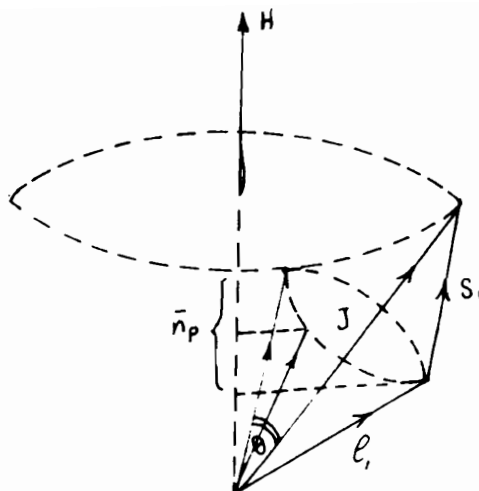
أما في حالة المجالات الضعيفة ، فقد وجد أن الخط الواحد ينقسم إلى عدد أكبر من الخطوط ، وسمى هذا بتأثير زيمان الشاذ Anomalous Zeeman's effect .

في حالة المجال المغناطيسي الضعيف يستمر الفعل البيني المداري المغزلي ، ويكون العدد الكمي  $J$  مناسبا spn - obit interaction في هذه الحالة . شكل (٤-٨)

تحدد الطاقة المغناطيسية بالقيم المتوسطة لكميات الحركة الزاوية المدارية والمغزالية في اتجاه المجال المغناطيسي . مركبات المتجهات ( $S$  :  $J$ ) لكل إلكترون في اتجاه عمودي على المحصلة  $J$  تتلاشى ، حيث إن الشكل من  $/$  ،  $S$  يدور حول  $J$  بالفعل البيني للฟ المداري .

∴ مركبات  $/$  ،  $S$  في اتجاه  $J$  هي التي يكون لها التأثير فقط ، وتعطى مركبات هذه المركبات في اتجاه المجال  $H$  القيم المتوسطة لمركبات كمية الحركة الزاوية الالكترونية في اتجاه المجال المغناطيسي .

شكل ٨ - ٤



إذا كان  $M$  هو العدد الكمي الكلى المغناطيسي Total magnetic quantum number

وهو يناسب مع  $\cos \theta$  حيث  $\theta$  هي الزاوية بين اتجاه المحصلة  $J$  مع المجال  $H$  فإن :

$$\bar{P}_{JH} = g_1 M \frac{\hbar}{2\pi}$$

$$\bar{P}_{SH} = g_2 M \frac{\hbar}{2\pi}$$

حيث  $g_1$  و  $g_2$  هى مقادير ثابتة ( ثوابت التناوب ) ولا تتوقف على قيمة  $M$  . وبالجميع

على كل الكترونات الذرة فإن :

$$\sum \bar{P}_{JH} + 2 \sum \bar{P}_{SH} = g M \frac{\hbar}{2\pi}$$

$$g = \sum g_1 + \sum g_2 \quad \text{حيث :}$$

وبذلك نحصل على طاقة مستوى معين ،  $J$  مثلاً

$$E_{HJ} = E_{0J} + \frac{e\hbar}{4\pi m c} g M H$$

حيث  $E_{HJ}$  .  $E_{0J}$  هما طاقتنا المستوى  $J$  فى وجود وفي عدم وجود المجال  $H$  على الترتيب .

من المعادلة السابقة يظهر أنه فى حالة التأثير بمجال مغناطيسي ضعيف ينقسم مستوى الطاقة  $J$  إلى عدد من المستويات تفصل بينهما قيم متساوية من الطاقة . ويتوقف

العدد على القيم المختلفة التي تأخذها  $M$ .

وقيمة المعامل  $g$  تتغير مع تغير المستوى  $J$  ويسمى  $g$  بمعامل لاندى للانقسام Landé

. splitting factor

إذا اعتربنا مستويين للطاقة  $J_1$ ,  $J_2$  فإن :

$$E_{HJ1} = E_{OJ1} + \frac{eh}{4\pi mc} H g_1 M_1$$

$$E_{HJ2} = E_{OJ2} + \frac{eh}{4\pi mc} H g_2 M_2$$

وبالطرح وبالقسمة على  $hc$  لإيجاد الأعداد الموجية :

$$\frac{1}{hc} (E_{HJ2} - E_{HJ1}) = \frac{1}{hc} (E_{OJ2} - E_{OJ1}) + \frac{eH}{4\pi mc^2} (g_2 M_2 - g_1 M_1)$$

or

$$\frac{v}{v_0} = (g_2 M_2 - g_1 M_1) \cdot L$$

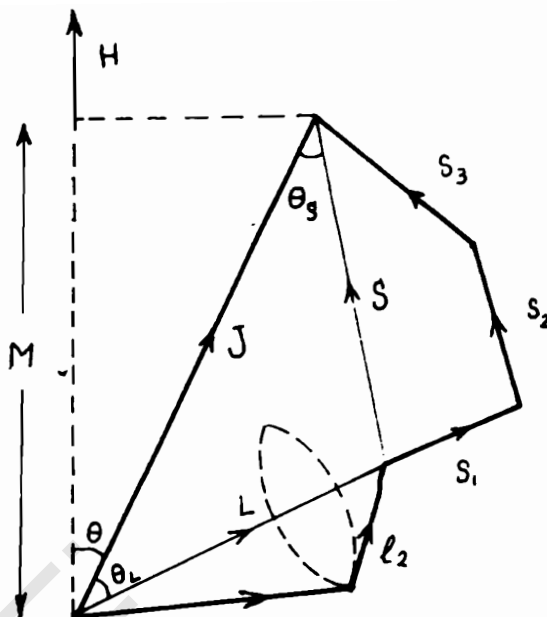
حيث  $L$  تساوى  $\frac{eH}{4\pi mc^2}$

وتعطى المعادلة السابقة جميع خطوط زيمان للمستويين  $J_2$ ,  $J_1$  عند وجود مجال مغنتيسي ضعيف . ويلاحظ أن  $M_1$  تأخذ القيم من  $J_2 +$  إلى  $J_2 -$  وتأخذ  $M_2$  من  $-J_1$  إلى  $J_1$

. وبخضع المقدار بين القوسين  $(g_2 M_2 - g_1 M_1)$  إلى قاعدة الاختيار

. rule

$$\Delta M = M_2 - M_1 \\ = 0 \text{ or } 1$$



شكل ( ٥ - ٨ )

حساب معامل لاندى للانقسام :

اعتبر رابطة LS فى مجال مغناطيسى ضعيف . يبين شكل ( ٨ - ٥ ) حالة ذرة ذات

إلكترونات حيث  $\ell_3 = 0$

يتوقف أطوال مساقط المتجهات  $\ell_i$  ،  $S_i$  فى اتجاه المجال المغناطيسى H على شدة

المجال.

المركبات العمودية على L الكل من  $( \ell_1 , \ell_2 )$  تتلاشى عند تجميعها فى جميع

الأوضاع .

مجموع مساقط المتجهات  $\ell_i$  فى اتجاه المجال H هى نفسها مسقط المتجه L فى اتجاه

أى أن : H

$$\sum \ell_H = L \cos \theta_L \cos \theta$$

حيث  $\theta_L$  هى الزاوية بين ( J , L )

،  $\theta$  هى الزاوية بين ( J , H )

بالمثل بالنسبة للمتجهات S

$$\sum S_H = S \cos \theta_S \cos \theta$$

حيث  $\theta_S$  هى الزاوية بين ( J , S )

من هندسة الشكل :

$$M = J \cos \theta$$

$$S^2 = J^2 + L^2 - 2 LJ \cos \theta_L$$

$$L^2 = J^2 + S^2 - 2 JS \cos \theta_S$$

$$\sum \ell_H = \frac{M}{2J^2} (J^2 + L^2 - S^2)$$

$$\sum S_H = \frac{M}{2J^2} (J^2 + S^2 - L^2)$$

ونظرا لأن نموذج المتجهات للنرنة يمثل بشكل ما كميات الحركة الزاوية ، لذلك تكون مركبات كمية الحركة الزاوية المدارية والمغزالية في اتجاه H هي :

$$\sum P_{\ell_H} = \frac{h}{2\pi} \sum \ell_H$$

$$\sum p_{SH} = \frac{h}{2\pi} \sum S_H$$

وباستبدال الأعداد الكمية  $J^2$  ،  $L^2$  ،  $S^2$  بالمقادير (J(J+1) ، L(L+1) ، S(S+1))

كما أثبتت النظرية الكمية ، نجد أن  $(S+1)$

$$\begin{aligned} \sum P_{\ell_H} + 2 \sum p_{SH} &= \frac{Mh}{4\pi J(J+1)} [(3J(J+1) + S(S+1) - L(L+1))] \\ &= \frac{Mh}{2\pi} \left[ (1 + \frac{J(J+1) + S(S+1) - L(L+1)}{2J(J+1)}) \right] \\ &= g \frac{Mh}{2\pi} \end{aligned}$$

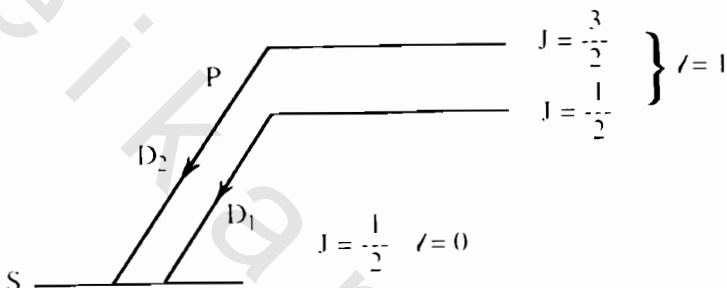
حيث g هو ثابت لاند للاقسام ويعطى بالمقدار :

$$\begin{aligned} g &= \left[ (1 + \frac{J(J+1) + S(S+1) - L(L+1)}{2J(J+1)}) \right] \\ &= 3/2 + \frac{S(S+1) - L(L+1)}{2J(J+1)} \end{aligned}$$

حساب تأثير زيمان الشاذ لفطى الصوديوم :

يظهر فى طيف الصوديوم خطان  $D_1$  و  $D_2$  فى اللون الأصفر  $A^\circ$  5896 A.

وقد أظهر التحليل الطيفي أنهما ناشئان عن انتقال الإلكترون من  $p$ -state إلى  $s$ -state حيث الأعداد الكمية الداخلية هي  $l = 1$  ،  $J = 1/2$  ،  $J = 3/2$  إلى الحالة  $S$ -state ( ) حيث الأعداد الكمية هي  $j = 1/2$  ،  $j = 0$  ( كما في شكل ٦ - ٨ )



شكل ( ٦ - ٨ )

أولاً نحسب قيم  $g$  لكل من المستويات الثلاثة :

$$g_1 = 2 \quad \therefore j = 1/2, \ell = 0 \quad - 1$$

$$j = 1/2, \ell = 1 \quad - 2$$

$$g_2 = 3/2 + \frac{1/2 \times 3/2 - 1 \times 2}{2 \times 1/2 \times 3/2} \quad - 3$$

$$\therefore g_2 = 2/3$$

$$\therefore g_3 = 4/3 \quad j = 3/2, \ell = 1 \quad - 3$$

لإيجاد مواضع خطوط الطيف الجديدة في مجال مغناطيسي ضعيف تكون جدولًا كما

يأتى :

$D_1$ transition	$g = \text{factor}$	$M = -1/2$ $M = +1/2$
$\ell = 1 \quad j = 1/2$  $\ell = 0 \quad j = 1/2$	$g_2 = 2/3$ $g_1 = 2$	$g M = -1/3$ $+1/3$ $g M = -1$ $+1$ 

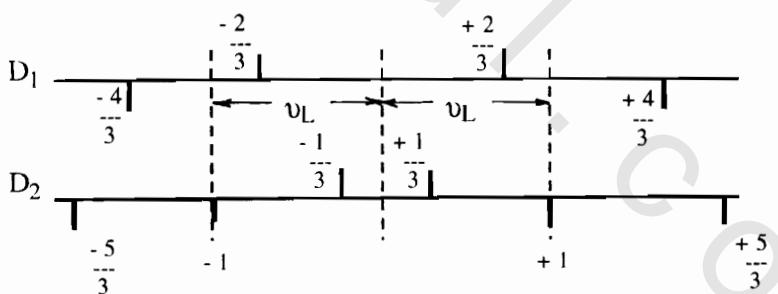
$D_2$ transition	$g = \text{factor}$	$-3/2 \quad -1/2 \quad 1/2 \quad 3/2$
$\ell = 1 \quad j = 3/2$  $\ell = 1 \quad j = 1/2$	$g_3 = 4/3$ $g_1 = 2$	$-2 \quad -2/3 \quad +2/3 \quad +2$ $-1 \quad +1$ 

شكل ( ٧ - ٨ )

$\Delta M = 1$

selection rules

$\Delta M = \pm 0$



شكل ( ٨ - ٨ )

ويبين شكل ( ٨ - ٨ ) انقسام خطى طيف الصوديوم فى مجال مغناطيسى ضعيف